

• 研究简报 •

利用 $\text{Fe}_3\text{O}_4/\text{DR}$ 膜作为催化剂前体在硅片上生长多壁碳纳米管

张智锋 许军舰 杨朝晖 张 岩 朱素冰 李 彦 曹维孝*

(北京大学化学与分子工程学院 北京 100871)

摘要 Fe_3O_4 纳米粒子与正离子性的重氮树脂在硅基底的表面形成稳定自组装膜, 还原后可通过化学气相沉积(CVD)法在硅基底的表面生长多壁碳纳米管。以聚丙烯酸包裹 Fe_3O_4 纳米颗粒能够有效地防止纳米粒子的团聚, 并提高组装效率, 得到均匀的纳米粒子自组装膜, 从而获得在硅基底上均匀分布的多壁碳纳米管。

关键词 多壁碳纳米管; Fe_3O_4 纳米粒子; 重氮树脂; 聚丙烯酸

Growth of Multi-walled Carbon Nanotubes on Si Substrate with $\text{Fe}_3\text{O}_4/\text{DR}$ Film as Catalyst Precursors

ZHANG, Zhi-Feng XU, Jun-Jian YANG, Zhao-Hui ZHANG, Yan
ZHU, Su-Bing LI, Yan CAO, Wei-Xiao*

(College of Chemistry and Molecular Engineering, Peking University, Beijing 100871)

Abstract Fe_3O_4 Nanoparticles produce stable self-assembly film with cationic diazoxyresin (DR) on silicon surface, after reduction of Fe_3O_4 the multi-walled carbon nanotubes (MWNTs) were grown on the silicon substrate via chemical vapor deposition (CVD) method. The Fe_3O_4 nanoparticles capped with polyacrylic acid (PAA) can avoid the aggregation of the nanoparticles effectively as well as improving the efficiency of the self-assembly. As a result the thin films with evenly distributed Fe_3O_4 nanoparticles and the nanotubes uniformly distributed on Si substrate were obtained.

Keywords multi-walled carbon nanotube; Fe_3O_4 nanoparticle; diazoxyresin; polyacrylic acid

碳纳米管是石墨烯碳层无缝中空的管体, 它的直径很小, 一般是几至几十纳米, 长度可达毫米甚至厘米级, 是一种准一维纳米材料。石墨平面的烯碳键强度非常大, 理论预测是钢的百倍, 并有很好的柔韧性, 所以碳纳米管又可视为是一种超级纤维。碳纳米管的这一特点, 已被研究用作为高级复合材料的增强体, 如用多壁碳纳米管增强环氧树脂^[1]、聚苯乙烯^[2]、聚丙烯^[3]、高密度聚乙烯^[4]、聚酰亚胺^[5]等。一般来说, 加 0.5~5 wt% 碳纳米管, 就有明显的增强效应, 如可使环氧树脂的杨氏模量和曲伏强度(yield strength)分别增加 2~4 倍。对其它聚合物材料, 效应类似。碳纳米管具有良好的传感性能, 被用于多种类型传感器的开发研究, 如用多壁碳纳

米管制备的质量传感器^[6]、气体传感器^[7]、葡萄糖传感器^[8]等。此外, 碳纳米管具有独特的电学性质, 有望在纳米电子器件等方面获得应用^[9,10]。

制备碳纳米管的方法很多, 最常用的有电弧法、激光法、化学气相沉积法(CVD)等。其中, CVD 法因不需要昂贵的设备和易于放大到工业规模, 以及具备比较高的可操控性而倍受关注^[11,12]。以 CVD 法在硅片或其它基片上直接生长碳纳米管, 对构筑由碳纳米管组成的传感器及电子器件等有重要意义。由 CVD 法在基片上制备碳纳米管的关键问题之一是如何使催化剂(通常是 Fe 等过渡金属)均匀分布在基片上^[11]。但由于纳米粒子通常具有自团聚的现象, 要做到均匀分布很困难。本研究

* E-mail: wxcao@pku.edu.cn

Received October 30, 2004; revised May 8, 2005; accepted September 22, 2005.

国家自然科学基金(Nos. 90406018, 20228101)资助项目。

是将催化剂前体 Fe_3O_4 作为一个组分, 与正离子性的重氮树脂形成稳定的自组装膜, 以减少 Fe_3O_4 的团聚。再由 H_2 气将 Fe_3O_4 还原成 Fe, 然后用 CVD 法在基片上生长多壁碳纳米管。用这种方法制备多壁碳纳米管, 还未见有文献报道。

1 实验部分

1.1 Fe_3O_4 纳米颗粒的制备^[13]

快速机械搅拌下, 将 500 mL 0.7 mol•L⁻¹ NH_4OH 溶液加入含有 40 mL 1 mol•L⁻¹ FeCl_3 和 10 mL 2 mol•L⁻¹ FeCl_2 (2 mol•L⁻¹ HCl) 的混合溶液中, 形成黑色的 Fe_3O_4 水分散液, 继续搅拌 30 min。用磁铁吸附的方法, 使分散液分层。用滴管吸去上层的大部分清液, 离心后得黑色的 Fe_3O_4 固体。将其分散在 100 mL 水中, 在剧烈的搅拌下, 分三次加入总量为 45.55 g 质量浓度为 10% 的 $\text{N}(\text{CH}_3)_4\text{OH}$ 水溶液, 得到稳定的 Fe_3O_4 水分散液。经 TEM 测定, 平均粒径为 11 nm。重氮树脂(DR)按文献[14]制备, M_n 约 $1.5 \times 10^3 \text{ g} \cdot \text{mol}^{-1}$ 。

1.2 重氮树脂- Fe_3O_4 自组装膜

作为基片的硅片(或石英片), 先在 30% H_2O_2 与 H_2SO_4 (体积比为 3:7)的混合液中煮沸 30 min, 以形成亲水表面。将上述处理过的基片, 交替浸到重氮树脂(DR)溶液(1 mg•mL⁻¹)和 Fe_3O_4 纳米粒子的水分散液中(1 mg•mL⁻¹, pH=9)各 5 min, 每吸附一层后, 用去离子水充分洗涤 3 min, 并用凉风吹干。重复上述操作 n 遍, 在基片两面各形成了 $(\text{DR}/\text{Fe}_3\text{O}_4)_n$ 多层膜。

1.3 通过 DR/ Fe_3O_4 自组装膜, 在 Si 上生长碳纳米管

将带有 DR/ Fe_3O_4 自组装膜的硅片置于瓷盘中, 将瓷盘置于管式反应炉内的石英管中央, 在 200 mL•min⁻¹ 的 Ar 气氛下, 升温至反应温度 700 °C 并恒定。先用 100 mL•min⁻¹ 的 H_2 还原 5 min, 再通入 100 mL•min⁻¹ 的 C_2H_2 反应, 5 min 后, 停止通 H_2 和 C_2H_2 , 并停止加热, 最后在 200 mL•min⁻¹ 的 Ar 保护下, 冷却至 300 °C 以下后, 取出硅片。

2 结果与讨论

图 1 给出不同层数 DR/ Fe_3O_4 组装膜的紫外-可见光谱(岛津-2100, 日本)。386 nm 处为 DR 重氮基(N_2^+)的吸收峰, 插图表示其吸光度与组装层数呈线性关系, 表明每个组装循环, 组装的 DR 量是相等的, 从而也可以推理, 组装上的 Fe_3O_4 大致也是相等的。

图 2 是从 DR/ Fe_3O_4 组装膜(4 组装层)制备的多壁碳纳米管的 SEM 照片。纳米管生长很好, 但其分布仍不是

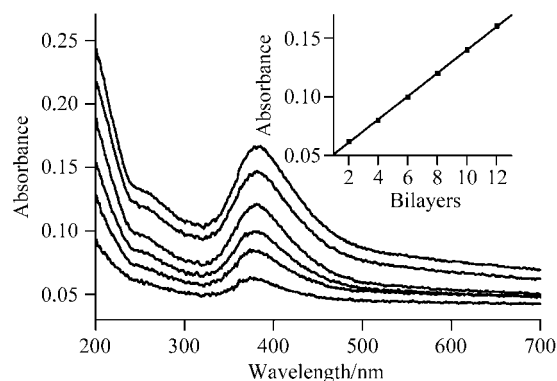


图 1 不同层数(从下至上: 2, 4, 6, 8, 10, 12) DR/ Fe_3O_4 自组装膜的 UV-vis 光谱。插图表示 386 nm 吸光度与层数的线性关系
Figure 1 The UV-vis absorption spectra of DR/ Fe_3O_4 films with different bilayers (bottom to top: 2, 4, 6, 8, 10, 12). Inset plot show the linear relationship between the absorbance at 386 nm and the bilayers

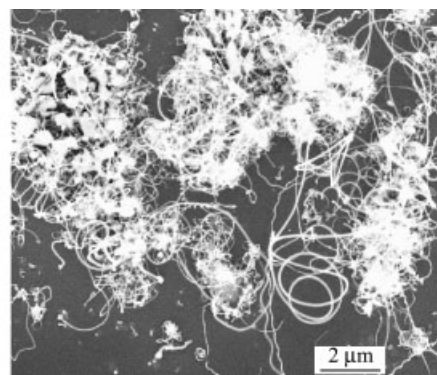


图 2 从 $(\text{DR}/\text{Fe}_3\text{O}_4)_4$ 膜在硅片上制备的多壁碳纳米管的 SEM 照片
Figure 2 SEM image of MWNTs grown on Si substrate using $(\text{DR}/\text{Fe}_3\text{O}_4)_4$ as a mediate film

很均匀。组装层以 4 层比较合适, 小于 4 层, 碳纳米管的密度较小, 4 层以上时, 随层数增加时, 纳米管生长未见有明显变化。

从 $(\text{DR}/\text{Fe}_3\text{O}_4)_4$ 膜制备的碳纳米管样品的 Raman 光谱(图 3)可清楚地看到多壁碳纳米管的特征谱带, 即位于 1600 cm⁻¹ 附近的有序石墨结构峰, 以及位于 1330 cm⁻¹ 附近的代表无序碳结构的峰, 证明在基片上生成了多壁碳纳米管。其它组装膜上生成的碳纳米管样品的 Raman 光谱与此类似。

以 DR/ Fe_3O_4 膜为催化剂中介膜制备多壁碳纳米管, 主要的一个问题是纳米管在基片上的分布很不均匀, 这主要是由于 Fe_3O_4 纳米颗粒在基片上的不均匀分布造成的。 Fe_3O_4 粒子在溶液中的团聚可造成其在基片上不均匀分布。此外由于 Fe_3O_4 纳米颗粒表面所带的负电荷较少, 其与带正电荷的表面(组装膜的 DR 层)相互作用不够强, 导致 Fe_3O_4 纳米颗粒不能有效地组装也是一个原因。如果将 Fe_3O_4 纳米颗粒用带负电荷的高分子包裹起

来, 再与 DR 组装, 就可避免 Fe_3O_4 纳米颗粒的团聚并提高组装效率, 就能制出 Fe_3O_4 均匀分布的基片.

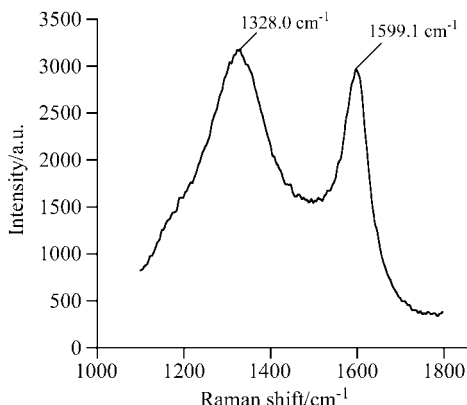


图 3 从 $(\text{DR}/\text{Fe}_3\text{O}_4)_4$ 膜制备的碳纳米管的 Raman 光谱

Figure 3 Raman spectrum of the carbon nanotube using $(\text{DR}/\text{Fe}_3\text{O}_4)_4$ as the mediate film

聚丙烯酸包裹 Fe_3O_4 的纳米颗粒已有文献报道^[15], 我们将聚丙烯酸包裹的 Fe_3O_4 纳米颗粒与 DR 组装, 这种组装膜在选择性曝光下能形成分布均匀的图像(图 4). 暗区域是显影后留下的含有 Fe_3O_4 颗粒的膜, 亮区域是显影后露出的基片(硅片)表面, 从而表明 Fe_3O_4 颗粒在整个基片上均匀分布.

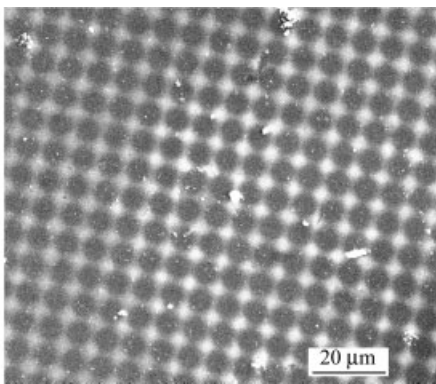


图 4 $(\text{DR}/\text{PAA})_3/(\text{DR})_3/(\text{PAA-capped Fe}_3\text{O}_4)_3$ 膜的图像(亮区圆点的直径: 约 4 μm)

Figure 4 Pattern formed from $(\text{DR}/\text{PAA})_3/(\text{DR})_3/(\text{PAA-capped Fe}_3\text{O}_4)_3$ film (diameter of the bright circle: $\sim 4 \mu\text{m}$)

我们将上述组装膜用于碳纳米管生长, 分布不均匀的问题明显得到改善. 图 5 是用这种组装膜制得的多壁碳纳米管的 SEM 照片.

从图上可以看出, 碳纳米管的分布比较均匀, 而且整个基片上的分布基本上都是如此. 可见, 用聚丙烯酸包裹 Fe_3O_4 纳米颗粒对防止颗粒团聚并获得 Fe_3O_4 均匀分布的组装膜是很有效的.

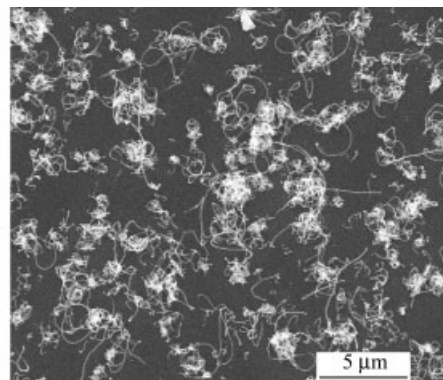


图 5 从 $(\text{DR}_3/(\text{PAA-capped Fe}_3\text{O}_4)_3$ 膜上生长的多壁碳纳米管的 SEM 照片

Figure 5 SEM image of MWNTs grown on Si substrate using $(\text{DR}_3/(\text{PAA-capped Fe}_3\text{O}_4)_3$ as the mediate film

3 结论

利用 Fe_3O_4 纳米粒子表面所带负电荷与带正电荷的重氮树脂通过静电相互作用, 在硅基底上获得了稳定的含 Fe_3O_4 纳米粒子的自组装膜. 将 Fe_3O_4 还原后作为催化剂, 以乙炔为碳源, 通过化学气相沉积法在硅表面上得到了多壁碳纳米管. 聚丙烯酸包裹 Fe_3O_4 纳米颗粒能有效地防止纳米粒子的团聚并提高组装效率, 有效地改善了多壁碳纳米管在硅基底上分布不均匀的问题. 用 CVD 法制备碳纳米管时, 将 Fe_3O_4 尤其是包裹了聚丙烯酸的 Fe_3O_4 纳米颗粒与重氮树脂形成的自组装膜作为催化剂前体, 是在基片表面均匀生长碳纳米管的一种新方法.

References

- Allaoui, A.; Bai, S.; Chen, H. M.; Bai, J. B. *Compos. Sci. Technol.* **2002**, 62, 1993.
- (a) Thostenson, E. T.; Chou, T. W. *J. Phys. D: Appl. Phys.* **2002**, 35, L77.
(b) Watts, P. C. P.; Ponnanmpalam, D. R.; Hsu, W. K.; Barnes, A.; Chamber, B. *Chem. Phys. Lett.* **2003**, 378, 609.
- Kashiwagi, T.; Grulke, E.; Hiding, J.; Groth, K.; Harris, R.; Butler, K.; Shields, J.; Kharchenko, S.; Douglas, J. *Polymer* **2004**, 45, 4227.
- (a) Zou, Y. B.; Feng, Y. C.; Wang, L.; Liu, X. B. *Carbon* **2004**, 42, 271.
(b) Tang, W. X.; Santare, M. H.; Advani, S. G. *Carbon* **2003**, 41, 2779.
- Ogasawara, T.; Ishida, Y.; Ishikawa, T.; Yokota, R. *Composites, Part A* **2004**, 35, 67.
- Mateiu, R.; Davis, Z. J.; Madsen, D. N.; Molhave, K.; Bolggild, P.; Rassmusen, A. M.; Brosen, M.; Jacobsen, C. J. H.; Boisen, A. *Microelectron. Eng.* **2004**, 73~74, 670.

- 7 (a) Jang, Y. T.; Moon, S. I.; Ahn, J. H.; Lee, Y. H.; Ju, B. K. *Sens. Actuators G* **2004**, *99*, 118.
(b) Wang, S. G.; Zhang, Q.; Yang, D. J.; Sellin, P. J.; Zhong, G. F. *Diamond Relat. Mater.* **2004**, *13*, 1327.
- 8 (a) Ye, J. S.; Wen, Y.; Zhang, W. D.; Gan, L. M.; Xu, G. Q.; Sheu, F. S. *Electrochim. Commun.* **2004**, *6*, 66.
(b) Wang, S. G.; Zhang, Q.; Wang, R. L.; Yoon, S. F. *Biochem. Biophys. Res. Commun.* **2003**, *311*, 572.
- 9 Javey, A.; Guo, J.; Wang, Q.; Lundstrom, M.; Dai, H. J. *Nature* **2003**, *424*(6949), 654.
- 10 Rueckes, T.; Kim, K.; Joselevich, E.; Tseng, G. Y.; Cheung, C. L.; Lieber, C. M. *Science* **2000**, *289*(5476), 94.
- 11 An, L.; Liu, J.; Owens, J. M.; McNeil, L. E.; Liu, J. *J. Am. Chem. Soc.* **2002**, *124*, 13688.
- 12 Tang, D. S.; Xie, S. S.; Pan, Z. W.; Sun, L. F.; Liu, Z. Q.; Zou, X. P.; Li, Y. B.; Ci, W.; Liu, L. J.; Zou, B. S.; Zhou, W. Y. *Chem. Phys. Lett.* **2002**, *362*, 285.
- 13 Massart, R. *IEEE Trans. Magn.* **1981**, *MAG-17*, 1247.
- 14 Cao, S.; Zhao, C.; Cao, W. X. *Polym. Int.* **1998**, *45*, 142.
- 15 Zhang, H.; Wang, R.; Zhang, G.; Yang, B. *Thin Solid Films* **2003**, *429*, 167.

(A0410302 ZHAO, C. H.; ZHENG, G. C.)